

AUTOUR DU TROU NOIR

Le trou noir est un objet qui fascine.

c'est avant tout une solution des équations de la relativité générale qui a permis une meilleure compréhension de la structure de la théorie.

En nov. 1915, Einstein publie sa théorie de la relativité.

L'espace-temps est muni d'une géométrie:

- M : variété Lorentzienne

- $g_{\mu\nu}$: de signature $(-+++)$

- ↳ encode la force gravitationnelle

- ↳ toute particule libre suit un géodésique de $(M, g_{\mu\nu})$

$$\left. \begin{array}{l} u^\lambda = \frac{dx^\lambda}{d\lambda} \\ x^\mu(\lambda) \end{array} \right\} \quad u^\lambda \nabla_\mu u^\nu = 0$$

- $g_{\mu\nu}$ est solution des Equations d'Einstein

$$G_{\mu\nu} = R_{\mu\nu} - \frac{1}{2} R g_{\mu\nu} = \frac{8\pi G}{c^4} T_\mu^\nu$$

- ↳ Nature de cette équation

Quel est le champ créé par une particule de masse m ?

* En théorie newtonienne, la solution est connue

$$\vec{F} = -m \nabla U \text{ avec } \Delta U = 4\pi G \rho$$

$$\text{Si } \rho = m \delta(\vec{r}) \text{ alors } U = -\frac{GM}{r}$$

$$\text{Cercle } U = -\frac{GM}{r} \text{ pour } r > R_c$$

$$M = 4\pi \int \rho r^2 dr \text{ est sa masse.}$$

* Peut-on trouver la solution correspondante en RG?

↳ c'est ce que fera Karl Schwarzschild en 1916.

Pour cela, il faut chercher une métrique g_{μν} que l'on suppose à symétrie sphérique

$$ds^2 = -\underbrace{g_{tt}(t, r)}_{e^{-2U}} dt^2 + \underbrace{g_{rr}(t, r)}_{e^{2U}} dr^2 + r^2(d\theta^2 + \sin^2\theta d\varphi^2)$$

↳ coord. sphériques (t, r, θ, φ)

↳ forme la plus générale

En dehors de la masse centrale ($r=0$),

$$T_{\mu\nu} = 0 \text{ (vide).}$$

On doit donc résoudre $R_{\mu\nu} = 0 = G_{\mu\nu} = 0$

↳ on peut montrer que la solution est

nécessairement statique de $\nu(r)$ et $\lambda(r)$

↳ les équations d'Einstein s'écrivent alors

$$\left\{ \begin{array}{l} G_{tt} = \frac{1}{r^2} e^\nu \frac{d}{dr} [r(1-e^{-\lambda})] = 0 \quad (1) \\ G_{rr} = -\frac{1}{r^2} e^\lambda (1-e^{-\lambda}) + \frac{1}{r} \nu' = 0 \quad (2) \\ G_{\theta\theta} = \dots = 0 ; \quad G_{\varphi\varphi} = \sin^2 \theta G_{\theta\theta} = 0 \end{array} \right.$$

\downarrow

$$e^{-\lambda} = 1 - \frac{r_g}{r} \qquad (r_g, c) : 2 \text{ constantes}$$

$$\nu = -\lambda + c$$

on vérifie $G_{\theta\theta} = G_{\varphi\varphi} = 0$ sont identiquement satisfaites.

C peut être réalisable dans $t \rightarrow t'$

si bien que la solution est

$$ds^2 = -\left(1 - \frac{r_g}{r}\right) c^2 dt^2 + \frac{dr^2}{1 - \frac{r_g}{r}} + r^2 d\Omega^2$$

c'est la solution de Schwarzschild.

" J'ai lu votre article avec le plus grand intérêt. Je ne m'attendais pas à ce que l'on puisse formuler la solution du problème de Jason si simple. J'ai beaucoup aimé le traitement mathématique du Syst. Jeudi prochain je présenterai ce travail à l'Academie avec quelques mots d'explications.

A. Einstein à K.S., janvier 1916

remarques:

- KS suppose statique
- Jebsen (1921) et Birkhoff (1923) prouvent que la seule sol. vide + sym. physico = Schw.
- $g \approx r \rightarrow \infty$, $g_{\text{obs}} \rightarrow g_{\infty}$
 (t, r, θ, φ) mesurent donc le temps perçu des observateurs à l'infini
- $r \gg r_g$ - $g_{\text{obs}} = 1 - \frac{r_g}{r}$
 $= 1 + \frac{2U}{c^2}$ dans la limite newtonienne

$$\Rightarrow \boxed{r_g = \frac{2GM}{c^2} = 2m}$$

$$U = -\frac{GM}{r}$$

Mais $\begin{cases} r=0; g_{rr} \rightarrow \infty \\ r=r_g; g_{rr} \rightarrow 0 \text{ et } g_{tt} \rightarrow \infty \end{cases}$

L'espace ne semble plus bien défini. Mais les inversions de la métropole ne se caractérisent pas de la même façon:

$$- R = 0 \text{ et } R_{\mu\nu}R^{\mu\nu} = 0$$

$$- K = R^\alpha R^\beta \delta_{\alpha\beta} R_{\mu\nu\rho\sigma} = 12 \frac{r_g^4}{r^4} = 28 \frac{m^2}{r^6}$$

$$\begin{cases} \rightarrow \infty \text{ en } 0 \\ \rightarrow 12/r_g^4 \text{ en } r_g \end{cases}$$

on distingue
 - la singularité centrale
 - la singularité de Schwarzschild
 en $r = 2m$.

- {. Qu'est-ce la singularité $r=2m$?
- {. que se passe-t-il quand on la traverse?

Cela va durer la seconde autour des TN pendant 50 ans.

- Compréhension du bien espace-temps / systèmes de coordonnées

Lemaître (1930)

Eddington (1924) - Finsler (1958)

Kruskal (1960) - Szekeres (1960) - Synge (1969)
Penrose (1968)

- Définition de la notion d'horizon et de singularité

Penrose (1964-65): premier théorème sur singulérité
Israel no-hair théorème

- Relation entre TN et thermodynamique

Penrose (1969): extraction de énergie d'un TN

1 - Théorème de courbure cosmologique

Bardet - Cade - Hawking (1972): 4 lois des TN classiques

Hawking (1971): area theorem

Bekenstein (1972): entropie des TN

Hawking (1974, 1975): radiation des TN

cette dernière propriété ouvre vers les aspects quantiques, ce qui explique que ces objets soient encore très étudiés.

clairement, je ne peux pas tout expliquer en 2 heures.

Ce que je vais donc essayer de faire:

① Voir ce qui se passe quand on tombe vers un TN.

↳ distinguer R et t
"l'illusio des coordonnées"
Effet Einstein

② lumière \rightarrow notion d'horizon

③ Kruskal et Penrose

- a. H_4
- b. TN \rightarrow définition d'un TN.
- c. étoile en effacement.

④ Thermodynamique

⑤ Propriétés des trous noirs

- a. Penrose process
- b. Superradiance
- c. Hawking
- d. information loss - paradoxe (?)

No.

Date

I. Nature de la surface $r=2m$

- Elle semble singulière $g_{tt} = \infty$; $g_{rr} = \infty$
 - Mais environnante courbure y sont régulières
- étude des géodésiques de genre temps et lumière

A. trajectoires

Elles peuvent s'obtenir sous forme paramétrique

$$\mathbf{x}^{\mu}(s) = \{t(s), r(s), \theta(s), \varphi(s)\}$$

où s est le temps propre

t est le temps propre d'un observateur à l'infini.

$$ds^2 = -\left(1 - \frac{r_g}{r}\right)c^2 dt^2 + \frac{dr^2}{(1-r_g/r)} + r^2(d\theta^2 + \sin^2\theta d\varphi^2)$$

on déduit

$$1 = -\left(1 - \frac{r_g}{r}\right)c^2 \dot{t}^2 + \frac{\dot{r}^2}{1-r_g/r} + r^2(\dot{\theta}^2 + \sin^2\theta \dot{\varphi}^2)$$

Techniquement, on peut trouver des constantes du mouvement :

- à chaque symétrie de l'espace-temps est associée une quantité conservée

↪ sym est associé à un champ de vecteur
(det du Killings)

$$\left\{ \begin{array}{l} x^{\mu} \mapsto x^{\mu} + \xi^{\mu} \\ g_{\mu\nu} \mapsto g_{\mu\nu} \end{array} \right. \Rightarrow \boxed{\delta g = 0 \Leftrightarrow \nabla_{(\mu} \xi_{\nu)} = 0}$$

$$\left. \begin{array}{l} \mu^{\nu} \nabla_{\mu} u^{\nu} = 0 \\ \nabla_{(\mu} \xi_{\nu)} = 0 \end{array} \right\} \quad \mu^{\nu} \nabla_{\mu} (u^{\nu} \xi_{\nu}) = 0$$

$\boxed{Q = u^{\nu} \xi_{\nu}}$ est constant sur
trajectoire

↪ stat. stat. $\rightarrow Q = \text{Energie}$
sym sphériq. $\rightarrow Q = \text{moment cinétique}$

$$\left\{ \begin{array}{l} \left(1 - \frac{r_g}{r}\right) c^t \dot{t} = \frac{E}{m} \\ r^2 d\theta^2 \dot{\theta} = \frac{L}{m} \end{array} \right.$$

on peut alors travailler dans le plan $\theta = \pi/2$
($\dot{\theta} = 0$ sol. des eq. mvt).

$$\left\{ \begin{array}{l} \left(1 - \frac{r_g}{r}\right) c^t \dot{t} = \frac{E}{m} \\ r^2 \dot{\phi} = \frac{L}{m} \\ \ddot{t} = - \left(1 - \frac{r_g}{r}\right) c^t \dot{t}^2 + \frac{\dot{r}^2}{(1 - r_g/r)} + r^2 \dot{\psi}^2 \end{array} \right.$$

on obtient en général $\{t(s); r(s); \varphi(s)\}$ une fois (E, L) déterminés par les conditions initiales.

Par simplicité, regardons des géodésiques radiales: $\dot{\varphi} = \dot{\varphi}_0$; $\dot{r} = 0$ ($L = 0$)

En éliminant t , on obtient:

$$1 = \frac{E^2}{m^2(1 - rg/r)} - \frac{\dot{r}^2}{1 - rg/r}$$

qui se réécrit

$$m\dot{r}^2 = \frac{E^2}{mc^2} - mc^2 \left(1 - \frac{2GM}{rc^2}\right)$$

Si on part de $r = \infty$ avec $\dot{r} = 0$, cela fixe $E = mc^2$
(et non $E = 0$ comme cela serait le cas en Newtonien)

Et donc

$$\boxed{\frac{1}{2} m \dot{r}^2 = \frac{GMm}{r}}$$

Cela ressemble à Newton mais attention, $\dot{r} = \frac{dr}{dt}$
et pas $\frac{dr}{dt}$!

Considérons un voyage avec $r=0$ et $r=R$

$$\begin{cases} \dot{r}^2 = -\frac{2GM}{R} + \frac{2GM}{r} \\ \left(1 - \frac{2GM}{r}\right) \frac{dt}{ds} = \sqrt{1 - \frac{2GM}{R}} \end{cases}$$

qui s'intègre en

$$\begin{cases} r = \frac{R}{2}(1 + \cos\eta) \\ \Delta = \frac{R}{2}\sqrt{\frac{R}{2GM}}(\eta + \sin\eta) \end{cases} \quad \eta = 0 \dots \pi$$

+ le temps (propre) pour atteindre $r=0$ ($\eta=\pi$) est

$$\Delta \delta = \Delta(\pi) - \Delta(0) = \frac{\pi}{2} \sqrt{\frac{R}{2GM}} < \infty$$

Temps que le voyageur mesure à sa montre

$$[R = R_0; M = M_0 \rightarrow \Delta \delta = 5 \mu s]$$

[il faut un temps fini et rien ne se passe
en $r = 2m$!]

$$\frac{d\tau|_{lo}}{d\tau|_{loc}} = \sqrt{\frac{-g_{00}(0)}{-g_{00}(r)}} = \frac{1}{\sqrt{1 - \frac{2GM}{R}}}$$

+ Cependant pour un observateur à l'infini, le temps mesuré est donné par :

$$k = - \int_R^r \frac{\sqrt{1 - \frac{2GM}{R}}}{\left(1 - \frac{2GM}{r}\right)\sqrt{\frac{R}{2GM}} \cdot \frac{2GM}{R}} dr \rightarrow \infty \text{ qd } r \rightarrow 2m$$

un observateur à l'infini voit le voyageur devenir et ne jamais dépasser $r = 2 \text{ m}$

• Pour un γ $ds^2 = 0$ et on a alors

$$\left(1 - \frac{r_0}{r}\right) c^2 dt^2 = \frac{dr^2}{\left(1 - \frac{r_0}{r}\right)} \rightarrow \frac{dr}{dt} = \pm \left(1 - \frac{2m}{r}\right)$$

sur $r = 2 \text{ m}$, les γ apparaissent immobiles pour un observateur à l'infini.

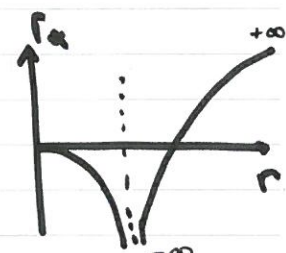
• Pour mieux comprendre, regardons les géodésiques nulles radiales.

$$ds^2 = 0 \rightarrow dt^2 = \frac{1}{\left(1 - \frac{2m}{r}\right)^2} dr^2 \equiv dr''^2$$

avec

$$r'' = r + 2m \ln\left(\frac{r - 2m}{2m}\right)$$

"Regge-wheeler Tortoise"



les géodésiques radiales ont aussi pour équation

$$d(t \pm r'') = 0$$

$$\begin{cases} U = t + r'' \\ u = t - r'' \end{cases}$$

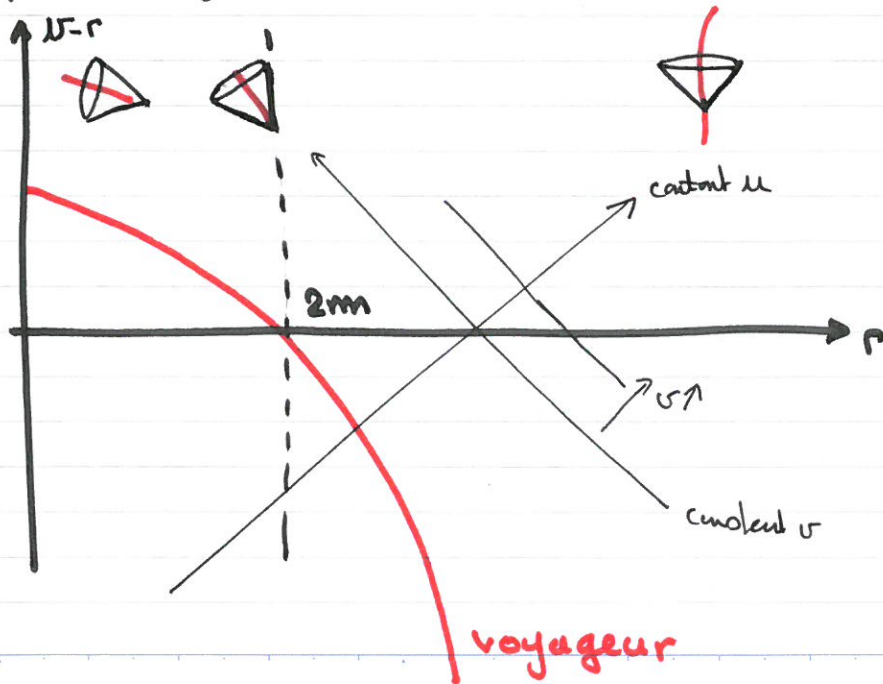
$\rightarrow -\infty < u < +\infty$ ingoing ($u = c$)

$-\infty < u < +\infty$ outgoing ($u = -c$)

on peut alors recueillir la métrique selon

$$\begin{aligned} ds^2 &= \left(1 - \frac{2M}{r}\right) (-dt^2 + dr^2) + r^2 d\Omega^2 \\ &= -\left(1 - \frac{2m}{r}\right) du^2 + 2dr du + r^2 d\Omega^2 \end{aligned}$$

- Le métrique est mathématiquement défini pour $r > 2m$
(car $u = t + r^\alpha(r)$ n'est def. que pour $r > 2m$)
- Mais on peut la continuer analytiquement pour tout $r > 0$
car le terme $2dr du$ est régulier en $r = 2m$
- Cela prouve que $r = 2m$ est une singularité
du système de coordonnées et que rien de physique ne s'y passe.



le cône de lumière ne déstort quand $r \rightarrow 2m$
(il est tangent à $r=2m$ en $r=2m$)

Pour $r \leq 2m$

$$2dr ds^2 = ds^2 - \left(\frac{2m}{r} - 1 \right) du^2 - r^2 dv^2$$

\downarrow
 ≤ 0 (négative/nulle)

≤ 0

$du > 0$ pour gravité future-dirigée.

$$\Rightarrow dr \leq 0$$

→ Aucune gravité en $r \leq 2m$ ne peut atteindre $r > 2m$

notion d'horizon

L'espace temps est donc séparé par une surface hém-perméable

aucune info de $r < 2m$ ne peut être obtenue en $r > 2m$.

- ↳ existence mathémat.,
- ↳ sol valide pour $r > R_*$
 - ⇒ existe t. q. des autres tels q τ $R_a < 2m$?
- ↳ modèle d'étoile et étude de leur stabilité.

II. Extension de Kruskal et diagramme de Penrose

- L'espace-temps d'un trou noir est plus vaste que celui couvert par les coordonnées de Schwarzschild.

- comment trouver un système de coordonnées qui couvre tout l'espace-temps ?

① Exemple : espace-temps de Rindler

Considérons la métrique 2D suivante

$$ds^2 = -x^2 dt^2 + dx^2 \quad t \in \mathbb{R} \quad x \in [0, +\infty[$$

espace plat ($Ricm=0$) singulier en $x=0$

[peut-on construire en système de coordonnées cartesiennes du plan euclidien, régulier partout ?]

Pour cela on part des géodésiques nulles ($ds^2=0$)

$$t = \pm \ln x + c^t$$

et on introduit

$$\begin{cases} u = t - \ln x \\ v = t + \ln x \end{cases} \quad (u, v) \in \mathbb{R}^2$$

Si bien que la métrique prend la forme

$$ds^2 = -e^{V-U} du dv$$

Posons ensuite

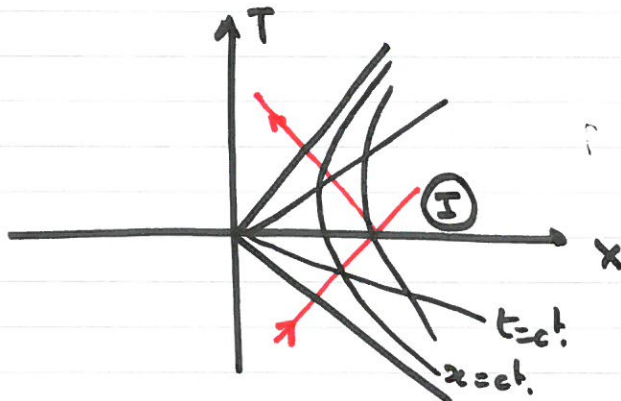
$$\begin{cases} U = -e^{-v} & \in [-\infty, 0] \\ V = e^v & \in [0; +\infty] \end{cases}$$

$$ds^2 = -du dv$$

cette métrique est régulière partout en
 on peut étendre le domaines de variation de (u, v)
 à \mathbb{R}^2

Pour faire $T = \frac{U+V}{2}$; $x = \frac{V-U}{2}$ mises à

$$ds^2 = -dT^2 + dx^2$$



on a aussi:

- éliminer systématiquement $x=0$ (coordonnées)

- écrire $ds^2|_I \rightarrow M_4$

- $\begin{cases} T = x \sinh t \\ x = z \cosh t \end{cases}$

② Schwarzschild

La singularité $r=2m$ n'est pas intrinsèque.

Construisons un système de coord. qui l'élimine.

- on se restreint au secteur $\theta = \text{ct.}$ $\varphi = \text{ct.}$ de métrique

$$ds^2 = -\left(1 - \frac{2m}{r}\right) dt^2 + \frac{dr^2}{1 - \frac{2m}{r}} \quad t \in \mathbb{R} \\ r \in [2m; +\infty]$$

- les géodésiques nulles sont $t = \pm r_a(r)$

$$\begin{cases} u = t - r_a \\ v = t + r_a \end{cases} \quad (u, v) \in \mathbb{R}^2$$

tels que $ds^2 = -\left(1 - \frac{2m}{r}\right) du dv$!
! $r(u, v)$!

- Ensuite

$$U = -e^{-u/4m} \quad V = e^{v/4m}$$

$$u \in [-\infty, 0]$$

$$v \in [0; +\infty]$$

$$ds^2 = -\frac{32m^3}{r} e^{-r/2m} du dv$$

$$T = \frac{1}{2}(U+V) \quad X = \frac{1}{\eta}(V-U)$$

$$u \in \mathbb{R}$$

$$v \in \mathbb{R}$$

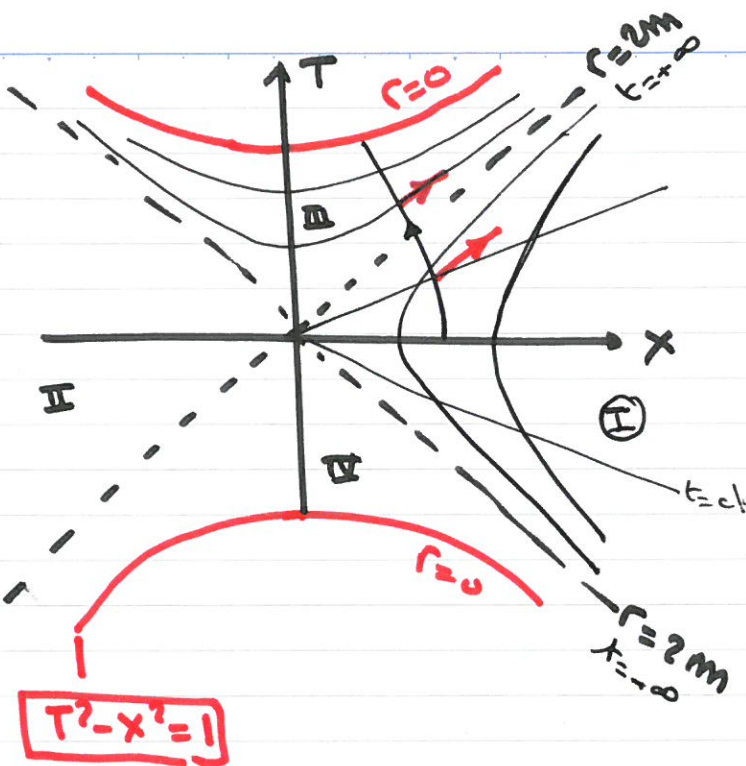
donne le refuge de Kruskal $ds^2 = -\frac{32m^3}{r} e^{-r/2m} (-dT^2 + dr^2) + r^2 d\Omega^2$
(1960)

- Dans le passage $(t, r) \rightarrow (T, x)$ on a
 - données supposées $r = 2m$
 - étendue d'ET car (r, t) ne couvre que la partie $x^2 - T^2 > 0$ (I)
 - dans I

$$\left\{ \begin{array}{l} T = \sqrt{\frac{r}{2m} - 1} e^{\frac{r}{2m}} \sinh \frac{t}{\sqrt{m}} \\ x = \sqrt{\frac{r}{2m} - 1} e^{\frac{r}{2m}} \cosh \frac{t}{\sqrt{m}} \\ \left(\frac{r}{2m} - 1 \right) e^{\frac{r}{2m}} = x^2 - T^2 \\ \tanh \frac{t}{\sqrt{m}} = \frac{T}{x} \end{array} \right.$$

- dans les autres cas les $r(T, x)$ doit être défini. On pose

$$\left(\frac{r}{2m} - 1 \right) e^{\frac{r}{2m}} = x^2 - T^2 \quad \forall r.$$



- toute courbe du plan (t, r) est représentée
2 fois en (T, x)
- $r = 2m$ est $T = \pm x$
- origine du diagramme est un 2-épulu de rayon
2m
- $t = ct \Rightarrow \frac{T}{x} = ct$
- & émis vers ∞ et horiz

③ Diagramme de Penrose

x propriété: toute métrique 2D est conformément plate, i.e.

$$ds^2 = \gamma_{ab} dx^a dx^b$$

$$= \Omega^2 \delta_{ab} dy^a dy^b.$$

x les diagrammes de Penrose utilisent cette propriété pour donner une représentation graphique puissante des courbes.

x propriété: si $g_{\mu\nu}$ est une métrique et x^μ une géodésique nulle de $g_{\mu\nu}$

$$[h^\nu g_{\mu\nu} h^\mu = 0 \quad h^\nu \nabla_\mu h^\mu = 0]$$

alors si $\tilde{g}_{\mu\nu} = \Omega^2 \tilde{g}_{\mu\nu}$, c'est aussi une géodésique de \tilde{g} parce que $\tilde{h}^\mu d\tilde{x}^\nu$

$$\tilde{h}^\mu = \Omega^2 h^\mu$$

suivant

$$\begin{cases} \tilde{h}^\mu \tilde{g}_{\mu\nu} \tilde{h}^\nu = 0 \\ \tilde{h}^\mu \nabla_\mu \tilde{h}^\nu = 0 \end{cases}$$

→ concerner la étude causale

a- Espace du H_4

Partons de

$$ds^2 = -dt^2 + dr^2 + r^2 d\Omega^2 \quad t \in \mathbb{R} \\ r \in \mathbb{R}_+$$

et introduisons (ψ, ξ) par

$$\begin{cases} t + r = \operatorname{tg} \frac{1}{2}(\psi + \xi) & \in [-\pi; \pi] \\ t - r = \operatorname{tg} \frac{1}{2}(\psi - \xi) & \in [-\pi; \pi] \end{cases}$$

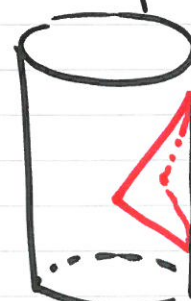
$$r > 0 \Rightarrow \xi > 0$$

on a alors

$$ds^2 = \Omega^2 d\tilde{\sigma}^2$$

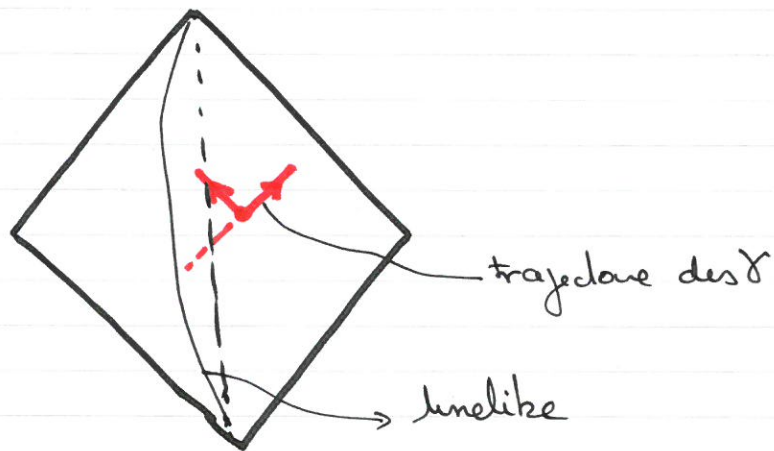
$$\begin{aligned} \Omega^2 &= -d\psi^2 + d\xi^2 + Dm^2 \xi^2 d\Omega^2 \\ &= [4 \cos^2 \frac{1}{2}(\psi + \xi) \cos^2 \frac{1}{2}(\psi - \xi)]^{-1} \end{aligned}$$

$d\tilde{\sigma}^2$ est celle de l'univers statique d'Einstein
 $(\psi = ct)$ dont des S^3)



$\Omega \times S^3$

Si on oublie le $c^2 ds^2$ alors



les bords représentent la structure causale de l'espace-temps M_4 .

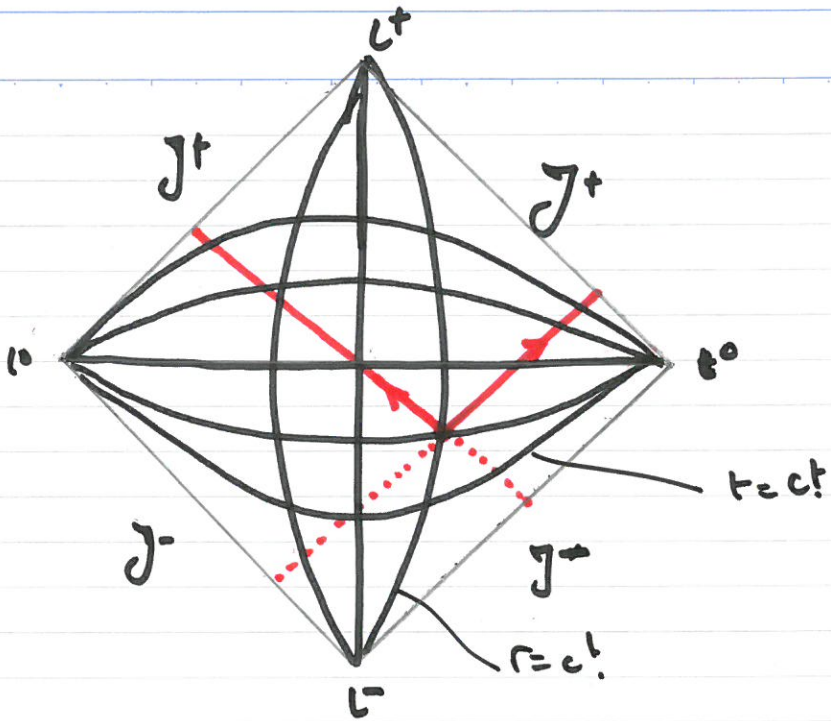
$$\textcircled{1} \quad J^+ = \left\{ \Psi = \frac{\pi}{2}, |\xi| < \frac{\pi}{2} \right\}$$

$$J^- = \left\{ \Psi = -\frac{\pi}{2}, |\Psi| \leq \frac{\pi}{2} \right\}$$

ports d'arrivée ou de départ de géodésiques nulles \rightarrow **Null-infinity**

$$\textcircled{2} \quad I^\pm : \Psi = \xi = \pm \frac{\pi}{2} \rightarrow \text{timelike-infinity}$$

$$\textcircled{3} \quad i^\circ : \Psi = -\xi = \frac{\pi}{2} \rightarrow \text{spatial infinity}$$



b. schwarzchild

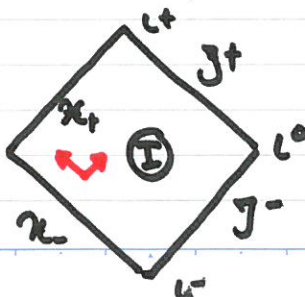
Il faut faire la même analyse cadre par cadre

- I ($x > 0, T+x > 0$ et $T-x < 0$)

$$(T, x) \rightarrow (\psi, \xi) \text{ tel que } \begin{cases} T+x = h \frac{1}{2}(\psi+\xi) \\ T-x = h \frac{1}{2}(\psi-\xi) \end{cases}$$

avec $\psi, \xi \in [0, \pi]$ $\psi - \xi \in [-\pi, 0]$ $\xi > 0$

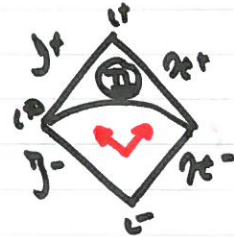
$$ds^2 = h^2 [-d\psi^2 + d\xi^2 + r^2 \sin^2 \xi d\varphi^2]$$



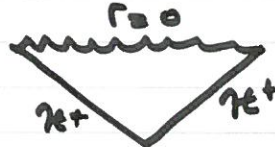
$$R_s = r = 2m$$

- bloc II s'obtient par $x \rightarrow -x$ et $T \rightarrow -T$

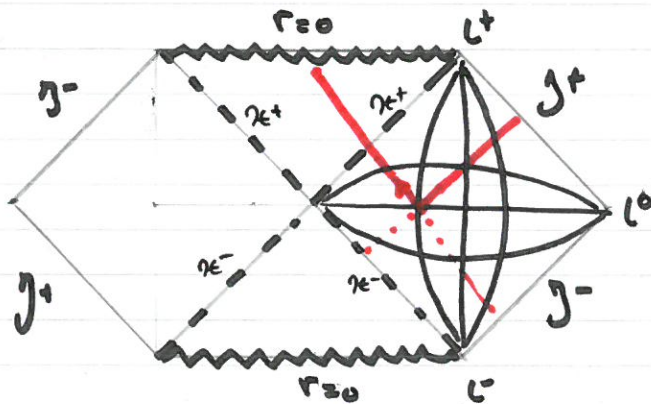
i.e. $\Psi \rightarrow -\Psi$ et $\xi \rightarrow -\xi$



- bloc III $T^2 \cdot x^2 < 1$ on peut faire la m^e ch^t de condonnes

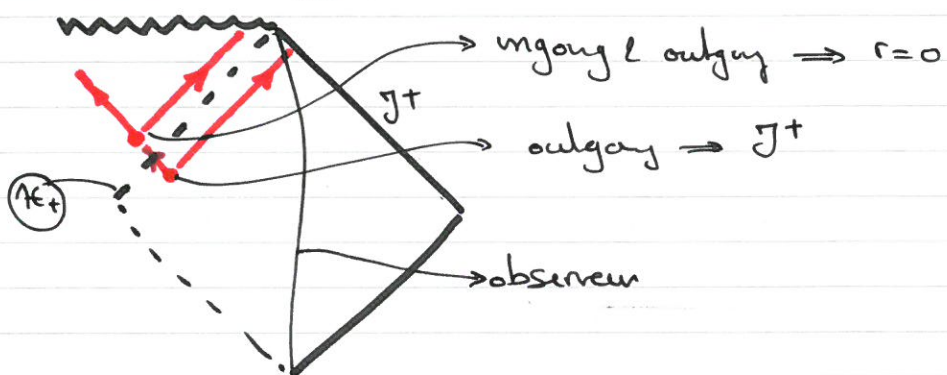


En collant ces morceaux on obtient l'extension maximale de l'espace-temps de schwarzschild



{= $r=0$ spacelike singularity
≈ big crunch singularity (r=holey)

Notion d'horizon

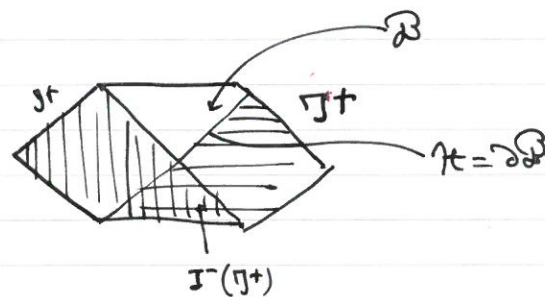


J^+ sépare les événements entre ceux qui sont accessibles par observation et ceux qui sont inaccessibles

→ **horizon des événements**

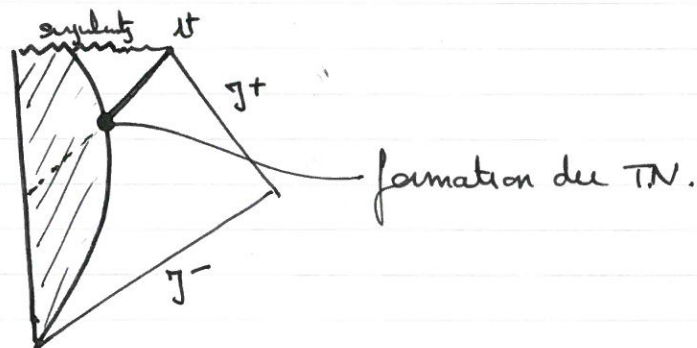
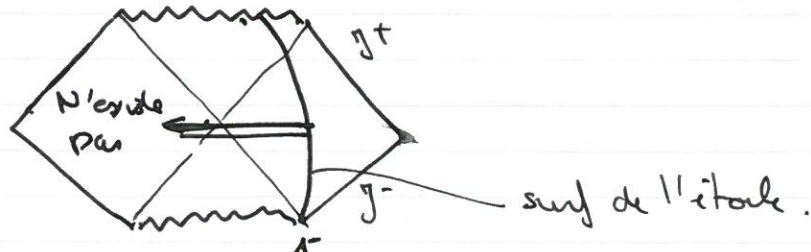
on définit alors le trou noir et son horizon par

$$\left\{ \begin{array}{l} \mathcal{B} = M - J^-(J^+) \\ \mathcal{H} = \partial \mathcal{B} \end{array} \right. \quad \text{passé causal de } J^+$$



on passe à une définition topologique.

- Ceci est dans un cas très simple.
- Si le TN résulte de l'effet gravitationnel d'une étoile



Differentes notions d'horizon :

- $r=2m$ est surface du décalage spatial infini
↳ horizon
- il $\in I^-(x)$ \Rightarrow il bane l'univers visible
↳ horiz. des éléments.
- ET statique $\Rightarrow \xi_\mu \propto$ genre temps

$$\xi_\mu \xi^\mu = 1 - \frac{2m}{r} = 0 \text{ en } r=2m \rightarrow \text{nul!}$$

↳ horizon de Killing.

$r=2m$ est une surface de géodésie luniens.



$$n_p n_w = \left(1 - \frac{2m}{r}\right) n_r^2$$

• Il y ait au repos pour t d'un obs à l'infini

↳ Trapped surface

• Un. out $\rightarrow r=0$ \rightarrow horizon apparent.

Ces notions se confondent toutes ici mais diffèrent pour d'autre type de TN.

↳ rg sur Trou de verre.

\Rightarrow impossibilité du passage de l'un à l'autre.

No.

Date



III. L'horizon et la Thermodynamique des TN.

L'étude générale des TN a montré que la solution est caractérisée seulement par 3 nombres

No-hair theorem (W. Israel, 1967)

$$\boxed{M, J, Q}$$

$$a \leq \frac{J}{\pi}$$

$$\text{avec } a^2 + Q^2 \leq M^2$$

Si = TN est dit extremal.

$a=0, Q=0$ | Schwarzschild

$a=0$ | Reissner-Nordström

$a \neq 0$ | Kerr

$(a, 0, n)$ | Kerr-Newmann

Pour la solution de KN l'horizon est localisé

en

$$r_+ = M + \sqrt{M^2 - a^2 - Q^2}$$

Considérons chgt de (Π, J, α) quand on laisse
varier un paramètre

$$(\Pi, J, \alpha) \rightarrow (\Pi + \delta\Pi, J + \delta J, \alpha + \delta\alpha)$$

Penrose (1969) réalise que dans certaines conditions, on peut avoir $\delta M < 0$

- on peut donc extraire de l'énergie d'un TN en rotation (processus de Penrose)
- on demande alors que

$$\delta M \geq \frac{\alpha \delta J + r_+ \alpha \delta \alpha}{r_+^2 + \alpha^2} \quad (*)$$

\hookrightarrow = réversible

$>$ irréversible

Christodoulou-Ruffini obtiennent alors que

$$H^2 = \left(H_{rr} + \frac{\alpha^2}{4\Pi_{rr}} \right)^2 + \frac{J^2}{4\Pi_{rr}^2}$$

en intégrant (*) et le saturant.

H_{irr} est constant pour des processus inversibles et si non

$$\delta H_{irr} \geq 0$$

sq L'énergie max. que l'on peut extraire

à un TN est $\Pi - H_{irr}$ condit. statique

Schwarzschild $J = Q = 0$, $\Pi = \Pi_{irr} \Rightarrow$ up to

$$\text{extremal } (Q=0) \quad \frac{\Pi - H_{irr}}{\Pi} = 1 - \frac{1}{\sqrt{2}} \approx 29\%$$

energie car $1g \approx 5.6 \cdot 10^{32} \text{ eV}$

Pour l'instant, on note juste la similitude avec $\delta S \geq 0$.

Hawking (1972) prouve alors que la surface de successive tcs section de hauteur ne peut pas décroître

$$\delta A \geq 0$$

et que pour plusieurs TN

$$\delta(\sum_a A_a) \geq 0.$$

Hawking prend tentatif d'attribuer au TN
une entropie $S = \alpha A_{BH}$ black hole
Bekenstein - Hawking. !

L'équation de masse donne alors pour
une transfération réversible

$$d\eta = \Omega d\varphi + \Phi da + T_{BH} dS_{BH}$$

$$\Omega = \frac{a}{r_+^2 + a^2}$$

(vitesse angulaire) $\frac{ar_+}{r_+^2 + a^2}$
(potentiel électrique)

$$\text{avec } T_{BH} = \frac{\partial \eta}{\partial S_{BH}} = \frac{1}{\alpha} \frac{\partial \eta}{\partial A} = \frac{\kappa}{8\pi\alpha}$$

c'est la première loi thermodynamique des TN

κ est la grandeur de surface

$$\kappa = \frac{1}{2} \frac{r_+ - r_-}{r_+^2 + a^2} = \frac{\sqrt{M^2 - a^2 - \alpha^2}}{r_+^2 + a^2}$$

$$= \frac{GM}{r_s^2} = \frac{1}{6\pi} \quad \text{pour Schwarzschild.}$$

= 0 pour TN extermal.

une démonstration générale de cette loi sera donnée par Borden-Carter-Hawking.

→ loi 0 : κ est donc T est constant sur l'horizon.

• BH entropy

Pour Bekenstein, on peut associer une S au TN.

$$S_{BH} = \hat{\alpha} \frac{A}{l_p^2} \quad l_p^2 = \frac{k G}{c^3}$$

Il associe cela à la nature quantique, qui limite l'existence de transformations réversibles (la particule doit avoir un moment angulaire exact nul, pour que la transfo. soit réversible)

Ainsi de façon effective, les effets quelques espaces se bailleront $\propto \text{d}c_{\text{part}} = \frac{k}{mc}$,

ce qui exige une basse inf. entre π et H_{irr} .

→ et obtenir l_p^2 indépendant du BH et particul.

Now si on se rappelle que l'on perd à cause du No-hair une information de $\frac{1}{2}$ bit (par ϵ particul) et en identifiant (ϵ la brillante information aux négatives entropy) il estin q.

$$\hat{\alpha} \sim \frac{\ln 2}{8\pi}$$

Ainsi $S_{BH} = \text{mesure de l'information sur l'intérieur de trous, inaccessible dehors.}$

Des lors il faut une T

$$T = \frac{1}{8\pi\hat{\alpha}} \frac{K}{c} K$$

↪ deuxes loi

$$\delta(S_{BH} + S_{Mat}) \geq 0$$

Radiation de Hawking (1974)

S.H (qui pensait que $T_{BH} = 0$ ne faisait aucun sens) démontre

le phénomène de radiation quantique.

$$\rightarrow \text{désert} \quad T_{BH} = \frac{1}{2\pi} \frac{K}{c} \kappa$$

$$\text{Si bien que } \hat{\alpha} = \frac{1}{4}$$

$$T_{BH} = 6.2 \cdot 10^{-8} \frac{h_0}{\pi} K$$

L'origine de ce rayement est

- qualique

- et du fait que la notion de vide

(et des particules) est une notion globale.

- des extrêmes à $r=0$ voit un

rayon nul

cela fixe α

$$S = \frac{1}{h} \frac{A}{L_p^2}$$

cela soulève bcp de questi

- interprétation du S_{BH} à la Boltzmann

1.e. celle ntn du processus.

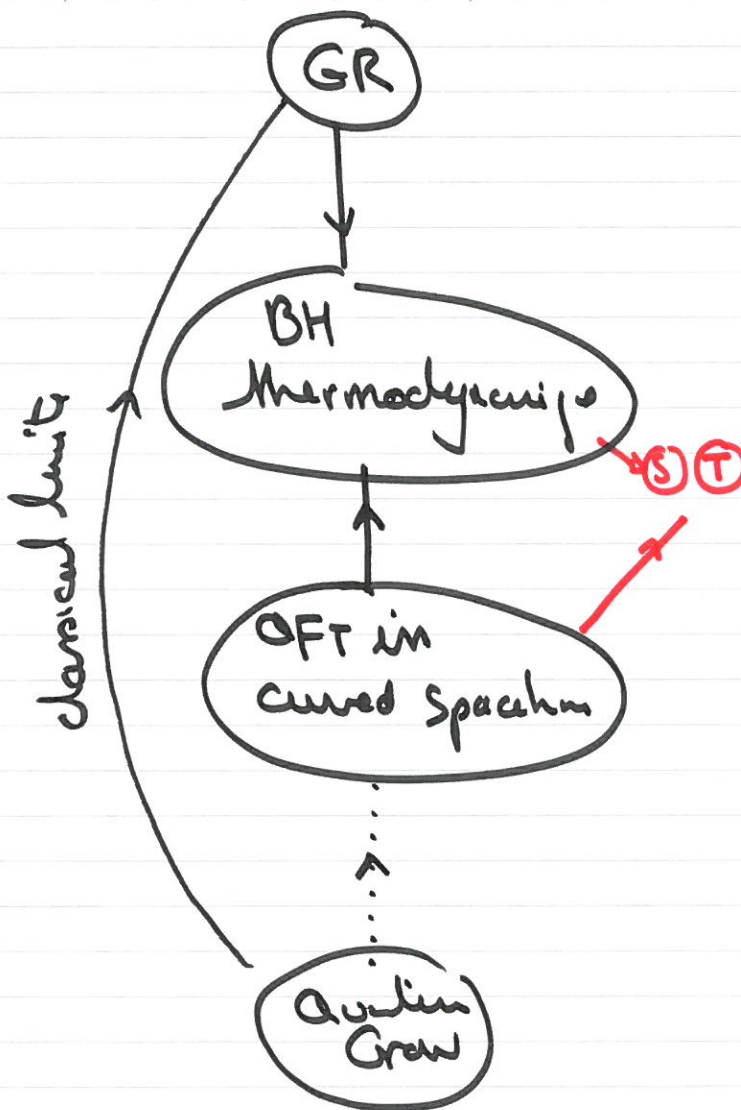
- flux $\sim S T_{BH}^4 \sim R_{BH}^{-2} T_{BH}^4 \sim \pi^2 \pi^{-4} \sim \pi^2$
 \Rightarrow décreasinge exponentielle du H

$$\frac{dH}{dt} \sim \pi^{-2} \Rightarrow H = H_0 - (t - t_0)$$

$$t_{exp} \sim 10^{10} \text{ yr} \left(\frac{\pi}{10^{14} \text{ g}} \right)^3$$

↳ point final de l'expansion:

↳ y a-t'il un paradoxe de
 perte d'information (une partie
 duquel d'info \rightarrow systématique)



IS inflation last a net ?

NON: pb acc grande
OUI: univante qm

possibilité :

- perdue
- engagée avec le TN (Rais des. de GR!!)
- but à la fin de perdre (role Bekenstein bound)

- ↳ stache' ds plach. sige remont
- ↳ stache' ds baby univers (Elohn-Center Kurs)
- ↳ encade' ds cascade' fuses - poser
(real es gestra. ntra de tipos denujo)

QH
Ge \rightarrow est horizon

? QH est incomplet (trouby pof 3ocurs)